

$C^+(\psi=0)$ и $C^-(\psi=0)$, но и получить эмпирические $C^+(\psi)$ и $C^-(\psi)$ для $0 \leq \psi \leq \pi$ с целью их применения для уточнения модели.

Наконец, приведем некоторые соотношения для вычисления степенных дисперсий аномальной силы тяжести, моделируемых совокупностью дискретных точечных масс. Если воспользоваться описанием возмущающего потенциала T и далее аномальной силы тяжести Δg некоторой системой N точечных масс, то после раз-

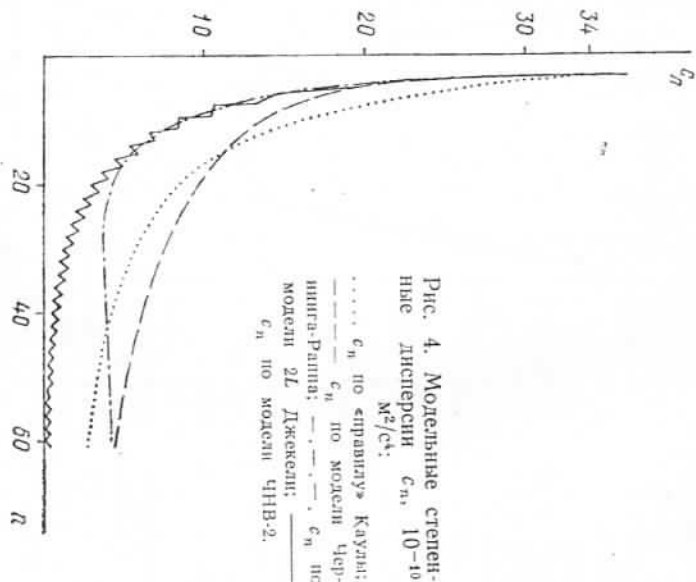


Рис. 4. Модельные степенные дисперсии c_n , $10^{-10} \text{ М}^2/\text{с}^4$.

..... c_n по правилу Каллини;
 ---- c_n по модели Чернинга-Раппа; - · - · c_n по модели 2L Джексона;
 — c_n по модели ЧНВ-2.

$$c_n = \frac{(n-1)^2}{R_e^4(2n+1)} \sum_{i=1}^N \sum_{j=1}^N \mu_i \mu_j \left(\frac{d_i d_j}{R_e^2} \right)^n P_n(\cos \psi_{ij}) \quad (12)$$

и ковариационной функции

$$C(P, Q) = \sum_{n=1}^{\infty} \frac{(n-1)^2}{R_e^4(2n+1)} \left[\sum_{i=1}^N \sum_{j=1}^N \mu_i \mu_j \times \right. \\ \left. \times \left(\frac{d_i d_j}{R_e^2} \right)^n P_n(\cos \psi_{ij}) \right] \left(\frac{R_e^2}{\rho_p \rho_q} \right)^{n+2} P_n(\cos \psi_{p, q}). \quad (13)$$

аномальной силы тяжести, описываемых системой точечных масс. Здесь μ_i , μ_j — значения i -й и j -й точечных масс; d_i , d_j — расстоя-

ния до них от начала координат; ψ_{ij} — сферическое расстояние между i -й и j -й массами; R_e — средний радиус Земли; P , Q — внешние точки, для которых вычисляется ковариация $C(P, Q)$.

Легко видеть теперь, что выражение (13) имеет более сложную структуру, чем таковое при использовании неортогональности базисных функций $\{1/r_i\}$, по которым возможно разложение T . Более того, последнее существенно усложняет и нахождение ковариаций $\text{cov}(\mu_i, \mu_j)$ между коэффициентами μ_i, μ_j , что позволило бы использовать для устойчивого определения μ_i традиционную схему метода среднеквадратической коллокации. Расчеты показывают, что задачу определения $\text{cov}(\mu_i, \mu_j)$ можно свести к обращению определенной матрицы, однако значения получаемых ковариаций $\text{cov}(\mu_i, \mu_j)$ существенно зависят от ее размерности $(N \times N)$. Значительно проще, отказавшись от вычисления $\text{cov}(\mu_i, \mu_j)$, воспользоваться алгоритмом из [1, 2] и применить в нем параметры воспроизводящего ядра ЧНВ-2 при аппроксимации гравитационного потенциала в глобальном масштабе.

Список литературы: 1. Марченко А. Н. О построении моделей точечных масс геопотенциала вариационным методом. — Геология, картография и аэрофотосъемка, 1983, вып. 37, 2. Марченко А. Н. О стабилизаторах для построения многоочечной модели геопотенциала вариационным методом. — Геология, картография и аэрофотосъемка, 1983, вып. 37, 3. Марченко А. Н. Гильбертовы пространства функций, гармонических вне сферы Бьерхаммара, и глобальная ковариационная функция аномального поля. — Док. УкрНИИТИ, 1983, № 293Ук-Д83, 4. Нейман Ю. М. Вариационный метод французской геологии. — М.: Недра, 1979, 5. Jekeli S. An investigation of two models for the degree variances of global covariance functions. — Columbus, Dept. of Geod. Sci., Ohio State Univ., 1978, Report № 275, 6. Кутипар Т. A contribution to the mathematical foundation of physical geodesy. — Copenhagen, Danish Geod. Inst., 1969, Publ. № 44, 7. Meissl P. A study of covariance functions related to the Earth's disturbing potential. — Columbus, Dept. of Geod. Sci., Ohio State Univ., 1971, Report № 151, 8. Moritz H. Advanced physical geodesy. Wichmann, 1980, 9. Rapp R. Potential coefficient determinations from 5° terrestrial gravity data. — Columbus, Dept. of Geod. Sci., Ohio State Univ., 1977, Report № 251, 10. Tschering C. C. Representation of Covariance functions related to the anomaly potential of the Earth using reproducing Kernels. — Copenhagen, Danish Geod. Inst., 1972, Internal Report № 3, 11. Tschering C. C., Rapp R. Closed covariance expressions for gravity anomalies, geoid undulations and deflections of the vertical implied by anomaly degree variance models. — Columbus, Dept. of Geod. Sci., Ohio State Univ., 1974, Report № 208.

Статья поступила в редакцию 16.05.84

М. И. МАРЧУЧ, Н. Н. ГУДЗ

О ВЫЧИСЛЕНИИ УГЛОНЕНИЯ ОТВЕСА И ВЫСОТ КВАЗИГЕОИДА ВО ВТОРОМ ПРИБЛИЖЕНИИ

Опыт вычисления первого приближения углонений отвеса в горных районах показывает, что оно обеспечивает точность результатов порядка 0,2—0,3" [2, 3]. Предлагают интегрес вычисле-

ния второй поправки Молоденского уклонений отвеса и высот квазигеоида с целью установления ее значения и выяснения, как эта поправка улучшает результаты вычислений первого приближения. В связи с этим была предпринята попытка вычисления второй поправки с использованием численного интегрирования по палеткам Еремеева, применимого также к вычислениям на реальном исходном материале.

В данной работе рассматривается методика вычисления этой поправки на модели Земли, приведенной в [3, с. 224]. Что касается таких же вычислений первого приближения, то они освещены в [2].

1. **Формулы для вычисления второй поправки Молоденского уклонений отвеса.** Используем формулу для второй поправки, полученную в работе [1, с. 26]

$$\xi_2 = \frac{1}{4\pi\gamma} \int \left[- \left(\frac{\partial \Delta g}{\partial \rho} \right)_1 (H - H_0) + \frac{1}{2} \left(\frac{\partial^2 \Delta g}{\partial \rho^2} \right) (H - H_0)^2 \right] \times \frac{dS \psi}{d\psi} \cos A d\sigma, \quad (1)$$

$$\left(\frac{\partial \Delta g}{\partial \rho} \right)_1 = - \frac{1}{2\pi R} \int \left[\left(\frac{\partial \Delta g}{\partial \rho} \right)_0 (H - H_0) - \left(\frac{\partial \Delta g}{\partial \rho} \right)_0^{(0)} (H - H_0)^{(0)} \right] \times \frac{d\sigma}{r^3} + \left(\frac{\partial^2 \Delta g}{\partial \rho^2} \right)_0 (H - H_0) + \frac{2}{R} \left(\frac{\partial \Delta g}{\partial \rho} \right)_0 (H - H_0); \quad (2)$$

$$\left(\frac{\partial^2 \Delta g}{\partial \rho^2} \right)_0 = \frac{1}{2\pi R} \int \left[\left(\frac{\partial \Delta g}{\partial \rho} \right)_0 - \left(\frac{\partial \Delta g}{\partial \rho} \right)_0^{(0)} \right] \frac{d\sigma}{r^3} - \frac{3}{R} \left(\frac{\partial \Delta g}{\partial \rho} \right)_0 \quad (3)$$

$$\left(\frac{\partial \Delta g}{\partial \rho} \right)_0 = \frac{1}{2\pi R} \int (\Delta g - \Delta g^{(0)}) \frac{d\sigma}{r^3} - \frac{2}{R} \Delta g; \quad (4)$$

$r = 2 \sin \frac{\psi}{2}$ и $d\sigma$ — элементы сферы единичного радиуса;

r — расстояние между данной и текущей точками.

Следует отметить, что последние члены в (2), (3) и (4) для плоской модели равны нулю.

После подстановки (2) в (1) выражение (1) имеет вид:

$$\xi_2 = \frac{1}{4\pi\gamma} \int \left[- \left(\frac{\partial \Delta g}{\partial \rho} \right)_1 (H - H_0) - \frac{1}{2} \left(\frac{\partial^2 \Delta g}{\partial \rho^2} \right) (H - H_0)^2 \right] \times \frac{dS(\psi)}{d\psi} \cos A d\sigma, \quad (5)$$

где

$$\left(\frac{\partial \Delta g}{\partial \rho} \right)_1 = - \frac{1}{2\pi R} \int \left[\left(\frac{\partial \Delta g}{\partial \rho} \right)_0 (H - H_0) - \left(\frac{\partial \Delta g}{\partial \rho} \right)_0^{(0)} (H - H_0)^{(0)} \right] \frac{d\sigma}{r^3}. \quad (6)$$

Интегралы (3) и (6), определяющие функции $\left(\frac{\partial^2 \Delta g}{\partial \rho^2} \right)_0$ и $\left(\frac{\partial \Delta g}{\partial \rho} \right)_1$, входящие в (5), аналогичны интегралу (4), представляющему собой формулу Нумерова для вертикального градиента аномалии силы тяжести. Поэтому методика численного интегрирования здесь такая же, как и при вычислении вертикального градиента. Рабочая формула для стоксово приближения вертикального градиента имеет вид:

$$\left(\frac{\partial \Delta g}{\partial \rho} \right)_0 = \sum_{l=0}^n c_l (\Delta g_e - \Delta g_n). \quad (7)$$

Коэффициенты c_l определяем радиусами ρ_l палеток:

$$c_l = \left(\frac{1}{\rho_{l+1}} - \frac{1}{\rho_l} \right),$$

Δg_e — осредненное значение аномалии силы тяжести по кольцам палетки; Δg_n — значение аномалии силы тяжести в данной точке. Значения радиусов рабочей палетки (в км) и коэффициентов c_l приведены ниже:

Радиусы палетки	c_l	Радиусы палетки	c_l
0,1	7,5	3,4	0,986
0,4	1,25	4,8	0,056
0,8	0,536	6,6	0,036
1,4	0,260	8,6	0,030
2,2	0,160	11,6	0,022
		15,6	

2. **Практическое вычисление второй поправки уклонений отвеса.** Вторая поправка была определена для точки поверхности модели, отстоящей от оси симметрии на расстоянии $l = 2,4$ км [3]. Предварительно были найдены в 32 точках градиенты $\left(\frac{\partial \Delta g}{\partial \rho} \right)_0$ по значениям аномалий силы тяжести, приведенным в [3]. Были вычислены также высоты H , $H - H_0$, как и $\left(\frac{\partial \Delta g}{\partial \rho} \right)_1$ и $\left(\frac{\partial^2 \Delta g}{\partial \rho^2} \right)_0$, позволяющие найти значения подынтегральной функции в (5), которые приведены в таблице. Окончательное значение подынтегральной функции в (5) приведено в графе 9 таблицы.

Теперь значение ξ_2 представляет собой не что иное, как вычисление уклонения отвеса по палетке Еремеева. Значение ξ_2 за влияние центральной зоны от 0 до 5 км равно $+0,28''$, влияние остальных зон равно $+0,04''$. Итого, $\xi_2 = 0,3''$.

Результат более строгого, аналитического вычисления этой же поправки, приведен в [3] и равен $\xi_2 = +0,1''$. Так как уклонение отвеса для исследуемой точки составляет $17,7''$ [3], то вторая поправка представляет собой приблизительно его $\frac{1}{200}$ долю, т. е.

Значения для получения подынтегральной функции формулы (1)

l км	$\left(\frac{\partial \Delta g}{\partial \rho}\right)_0$ М Гал/г ³ км	H_0 км	$H-H_0$ км	$\left(\frac{\partial \Delta g}{\partial \rho}\right)_e \times$ $\times (H-H_0)$	$\left(\frac{\partial \Delta g}{\partial \rho}\right)_1$	$\left(\frac{\partial \Delta g}{\partial \rho}\right)_2 \times$ $\times (H-H_0)$	$\frac{1}{2} \left(\frac{\partial^2 \Delta g}{\partial \rho^2}\right)_e \times$ $\times (H-H_0)^2$	Значение интеграла $-(7) + (8)$
0,0	-101,11	4,050	0,350	-35,388	46,38	16,23	6,02	-22,25
0,2	-97,20	4,045	0,345	-33,634	52,12	17,98	4,50	-22,48
0,4	-96,78	4,026	0,326	-31,550	47,79	15,58	4,68	-20,26
0,5	-93,96	4,015	0,315	-29,408	27,58	8,69	3,35	-12,04
0,6	-92,31	4,000	0,300	-27,693	37,86	11,36	3,97	-15,33
0,7	-91,49	3,983	0,283	-25,892	33,26	9,41	4,76	-14,18
0,9	-86,90	3,950	0,250	-21,725	34,61	8,65	4,04	-12,69
1,1	-66,32	3,917	0,217	-14,391	0,31	0,07	0,07	0,14
1,4	-60,92	3,867	0,167	-10,174	0,48	0,08	1,07	-0,99
1,7	-43,06	3,817	0,117	-5,038	4,32	-0,50	-0,02	0,52
2,1	-30,45	3,750	0,050	-1,522	5,42	0,27	0,01	0,26
2,4	-23,68	3,700	0,000	0,000	4,35	0,00	0,00	0,00
2,6	-19,64	3,667	-0,033	0,648	3,66	0,12	-1,21	1,09
2,9	-15,97	3,617	-0,083	1,326	2,37	0,20	-0,07	0,13
3,4	-13,75	3,533	-0,167	2,296	4,10	0,68	0,03	-0,71
4,2	-7,43	3,400	-0,300	2,229	1,20	0,36	-0,19	0,17
5,2	-5,89	3,233	-0,467	2,751	5,26	2,46	0,38	-2,84
5,8	-1,61	3,133	-0,567	0,913	1,53	0,87	0,15	0,00
6,6	0,70	3,000	-0,700	0,490	1,67	1,17	-0,15	-1,02
7,4	0,57	2,867	-0,833	0,475	1,96	1,63	0,36	-1,99
8,2	2,19	2,733	-0,967	2,118	0,14	0,14	-0,56	0,70
9,1	3,36	2,583	-1,117	3,753	0,39	0,44	-0,85	0,41
9,6	3,96	2,500	-1,200	4,752	1,40	1,68	-3,89	2,85
10,4	4,39	2,367	-1,333	5,852	3,57	4,76	-8,99	8,65
11,7	3,28	2,150	-1,550	5,084	2,02	3,13	-1,31	2,82
15,1	2,63	1,583	-2,117	5,568	1,52	3,22	1,25	4,47
19,3	0,89	0,883	-2,817	2,507	0,89	2,51	0,69	3,20
24,6	0,50	0	-3,700	1,850	0,88	3,26	0,79	2,47
30,0	0,114	0	-3,700	0,422	0,22	0,81	0,40	1,21
45,0	0,0865	0	-3,700	0,320	0,01	0,04	0	0,04
60,0	0,0105	0	-3,700	0,039	-0,02	0,07	0	-0,07
80,0	-0,000052	0	-3,700	0,000	0	0	0	0

значение порядка сжатия Земли. Порядок этой поправки совпадает с точностью определения уклонения отвеса. Имеется в виду точность вывода формул и точность вычисления уклонения отвеса в нулевом и первом приближениях.

Из выполненных исследований можно заключить, что при практических вычислениях на реальном материале вторая поправка во многих случаях тоже будет такого же порядка и может не учитываться. Однако ее вычисление представляет интерес, если находят только порядок поправки. В этом случае она характеризует точность вычисления уклонения отвеса в первом приближении, которая, судя по результатам вычисления для данной модели, является довольно высокой. Следует отметить, что используемую здесь методику можно применить для вычисления второй поправки уклонения отвеса в практике геодезического производства.

Данные, приведенные в таблице, позволяют без затруднения вычислить, вторую поправку высоты квазигеоида, только вместо формул Венинг-Мейнеса должна быть использована формула Стокса. Можно надеяться, что выводы, сделанные относительно вычисления уклонения отвеса, в такой же мере относятся и к вычислением высот квазигеоида, так как высоты являются более гладкой функцией, чем уклонения отвеса.

Список литературы: 1. Марья М. И. О вычислении уклонения отвеса на физической поверхности Земли. — Геодезия, картография и аэрофотогеодезия, 1973, вып. 18. 2. Марья М. И., Гудя Н. Н., Даудит П. Д. Опыт вычисления уклонения отвеса на моделях Земли. — Геодезия, картография и аэрофотогеодезия, 1973, вып. 18. 3. Молоденский М. С., Ермеев В. Ф., Юркин М. И. Методы измерения внешнего гравитационного поля и фигуры Земли. — Тр. ЦНИИГАиК, 1960, вып. 131.

Статья поступила в редакцию 11.05.83

UDK 528.21

Г. А. МЕШЕРЯКОВ

О ПРЕДСТАВЛЕНИИ ПОТЕНЦИАЛА ПЛАНЕТЫ СУММОЙ ПОТЕНЦИАЛОВ ПЛОСКИХ СЛОЕВ

§ 1. Потенциал

$$V(P) = \int_{LpQ} \frac{\sigma}{r} d\tau, \quad Q \in \tau, \quad F \notin \tau, \quad (1)$$

равняемый телом τ ($\delta > 0$ — плотность его масс) во внешнем относительно σ пространстве (σ — граница тела τ), может быть использован не только заданным распределением δ масс внутри данной поверхности σ , но и бесчисленным множеством иных способов. Например, полагая поверхность σ тела τ неизменной, можно считать, что V создается во всем пространстве вне σ массами внутри σ плотности $\delta + \rho$, где ρ — плотность так называемого тела нулевого внешнего потенциала [5], вычисляемая по формуле

$$V = -\frac{1}{4\pi} \Delta W \quad \text{при любой функции } W \in C_2^2, \text{ подчиненной условиям}$$

$$\left. \begin{aligned} W|_{\sigma} &= \frac{\partial W}{\partial n} \Big|_{\sigma} = 0. \Delta \text{ если кроме поверхности } \sigma \text{ тела, предполагаемой} \\ &\text{достаточно гладкой поверхностью Липунова*, допустить еще из-} \\ &\text{вестными на ней значениями потенциала } V \text{ и его нормальная про-} \\ &\text{изводная } \frac{\partial V}{\partial n}, \text{ то согласно [2, 5] и других руководств по теории} \end{aligned} \right\}$$

* К таким поверхностям относят, например, ограниченные замкнутые поверхности класса C_2 [2].